

### บทที่ 3

## ผลการวิจัยและถาวรอภิปรายผลการวิจัย



### 3.1 บทนำ

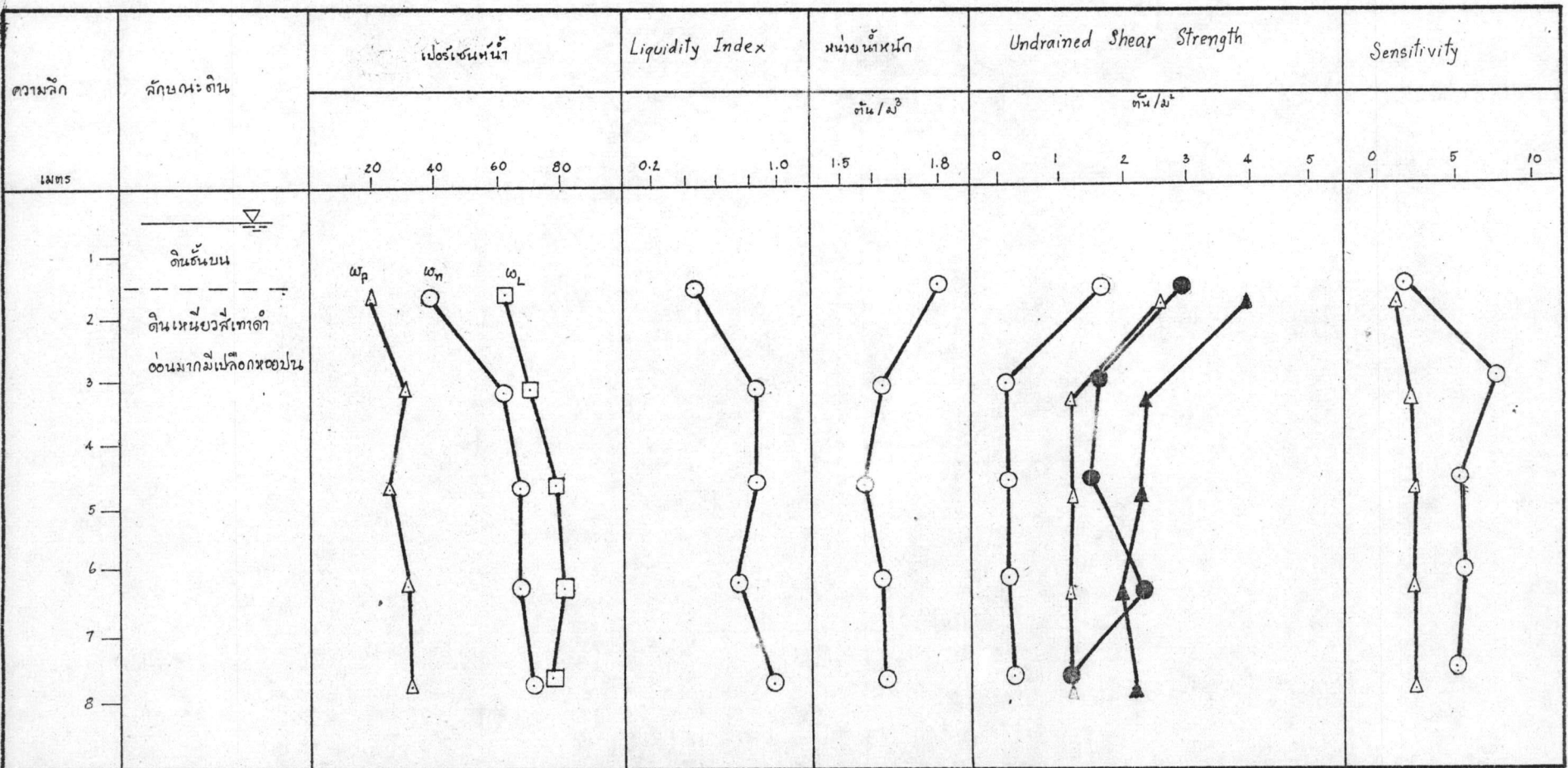
ในการวิจัย ดินบริเวณที่ทำวิจัยและเสาเข็มถูกทดสอบ ผลการทดสอบแสดง และอภิปรายไว้ภายใต้หัวข้อต่อไปนี้

1. ผลการสำรวจดินบริเวณที่ทำวิจัย
2. ผลการตรวจสอบอิทธิพลของธรรมชาติแวดล้อม (ลม อุณหภูมิ ฯลฯ) ต่อการวิกระยะทรุดของหัวเสาเข็มและแรงทดสอบเสาเข็ม
3. ผลการทดสอบเสาเข็ม

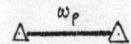
### 3.2 ผลการสำรวจดินบริเวณที่ทำวิจัย

#### 3.2.1 ผลการสำรวจดินบริเวณที่ทำวิจัยจากการวิจัยอื่น

จากผลการสำรวจดินบริเวณที่ทำวิจัยโดย Sriratanasathavorn, S.(1975) ที่ระดับลึกจากผิวดินประมาณ 1.5 เมตร ถึง 8 เมตรที่ระดับดินชั้นบน ดินมีลักษณะ เป็นดินเหนียวสีเทาอ่อนมาก และมีเปลือกหอยปะปนอยู่ เปรียบเทียบกับค่าตามธรรมชาติ ที่ระดับต่าง ๆ ในชั้นดินเหนียวอ่อน โดยทั่วไปมีค่าใกล้เคียงกับค่า liquid limit Sensitivity ซึ่งหาจากการทดลองแบบ Unconfined Compression Test และ Field Vane Shear Test มีค่าอยู่ระหว่าง 1.5 และ 7 คุณสมบัติทางวิศวกรรมของดินเหนียวนี้แสดงไว้ในรูปที่ 3.1

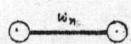


สัญลักษณ์



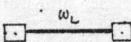
Plastic Limit

▲ Undisturbed Field Vane Shear Test



Natural Water Content

△ Disturbed Field Vane Shear Test



Liquid Limit

● Undisturbed Unconfined Compression Test

○ Disturbed Unconfined Compression Test

รูปที่ 3.1 คุณสมบัติของดินบริเวณที่สำรวจ

(จาก Sriratanasathavorn, S., 1975)

เมื่อจำแนกดินเหนียวชั้นนี้ตามการจำแนกดินแบบ Unified Soil Classification System ความสัมพันธ์ระหว่าง liquid limit กับ plasticity index อยู่เหนือและขนานกับเส้น A ในรูปที่ 3.2 ดินเหนียวอ่อนชั้นนี้จัดเป็นดินเหนียวอ่อนประเภท CH

### 3.2.2 ผลการสำรวจดินบริเวณที่ทำวิจัยโดยใช้ Static Dutch Cone

Static Dutch Cone ที่ใช้สำรวจเป็นแบบ Begemann, H.K.S., Ph. ปลายมีลักษณะเป็นรูปกรวยซึ่งมีฐานเป็นวงกลม พื้นที่ภาคตัดขวาง 10 ตารางเซนติเมตร มุมยอดกรวย 60 องศา ใช้หยั่งลงไปในดินใกล้เสาเข็มแต่ละเสาคด้วยความเร็วประมาณ 1 เซนติเมตรต่อวินาที ผลการสำรวจดินบริเวณที่ทำวิจัยโดยใช้ Static Dutch Cone แสดงไว้ในรูปที่ 3.3 ถึง รูปที่ 3.6 ส่วนรายละเอียดการสำรวจดินใกล้เสาเข็มแต่ละเสาคด้วย Static Dutch Cone แสดงไว้ในภาคผนวก

รูปที่ 3.3 ถึงรูปที่ 3.6 แสดงหน่วยแรงต้านปลายกรวยตามแนวเสาเข็มที่ลงไว้ทั้ง 4 แนว ทั้งระดับลึก 1 เมตรจากผิวดินถึงระดับลึก 4 เมตร จากผิวดินอันเป็นระดับที่ปลายเสาเข็มลงไว้ หน่วยแรงต้านปลายกรวยเฉลี่ยตลอดระดับลึก 1 เมตร จากผิวดินถึงระดับลึก 4 เมตรจากผิวดินบริเวณใกล้เสาเข็มมีค่าอยู่ระหว่าง 2.22 กิโลกรัมต่อตารางเซนติเมตร และ 4.40 กิโลกรัมต่อตารางเซนติเมตร ส่วนใหญ่หน่วยแรงต้านปลายกรวยน้อยกว่า 5 กิโลกรัมต่อตารางเซนติเมตร มีเพียงบางแห่งที่หน่วยแรงต้านปลายกรวยเกิน 5 กิโลกรัมต่อตารางเซนติเมตร ตามผลการวิจัยของ Pham, T.N. (1972) ดินเหนียวกรุงเทพฯที่มีหน่วยแรงต้านปลายกรวยน้อยกว่า 5 กิโลกรัมต่อตารางเซนติเมตร จัดเป็นดินเหนียวอ่อน

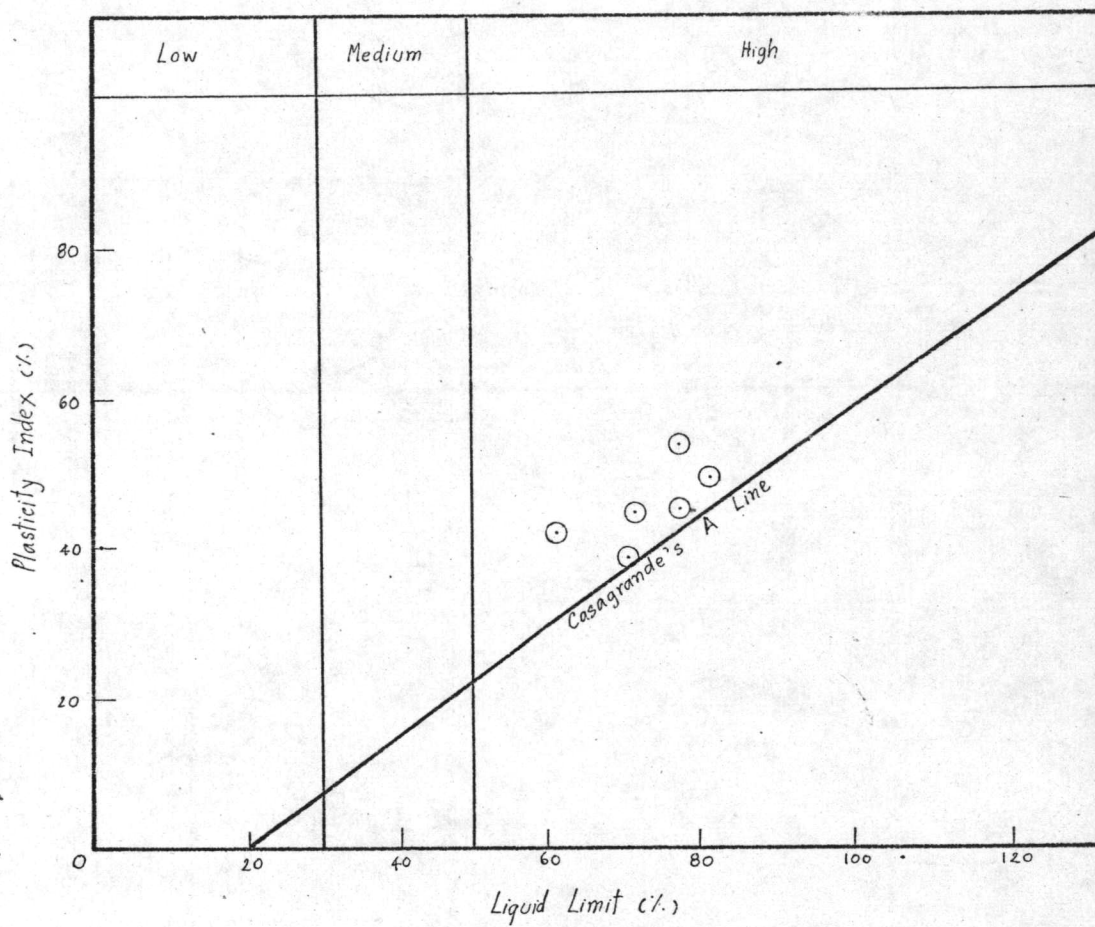
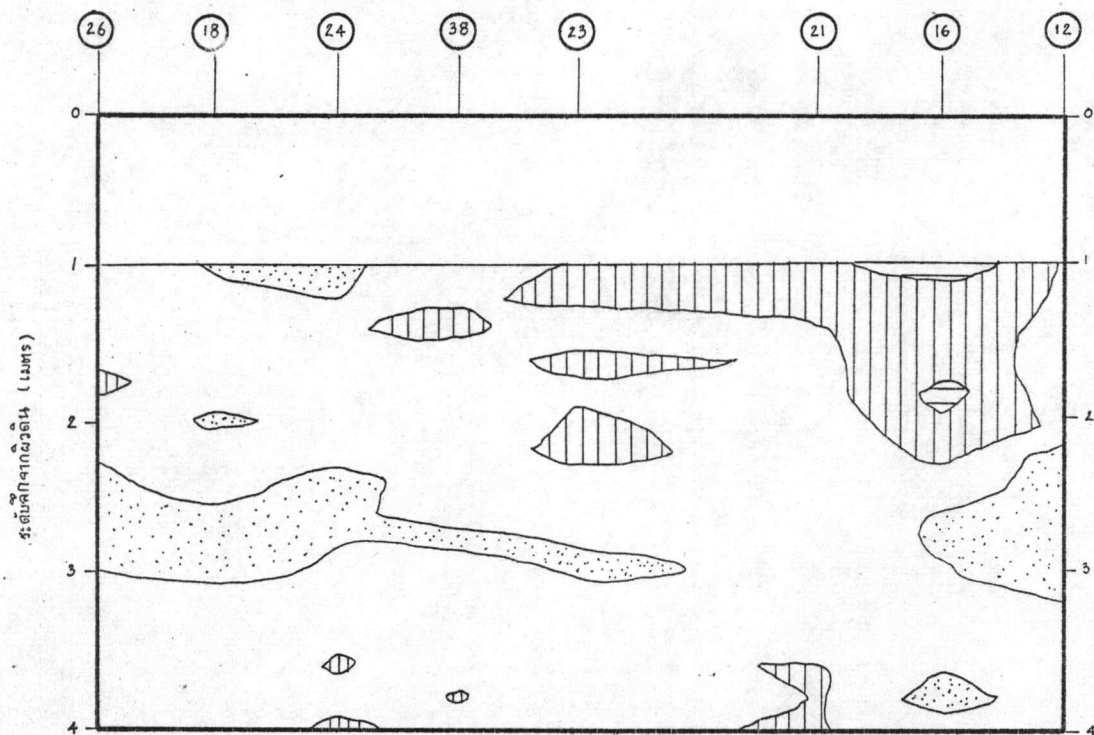
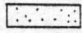
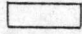
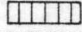
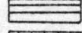
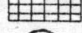



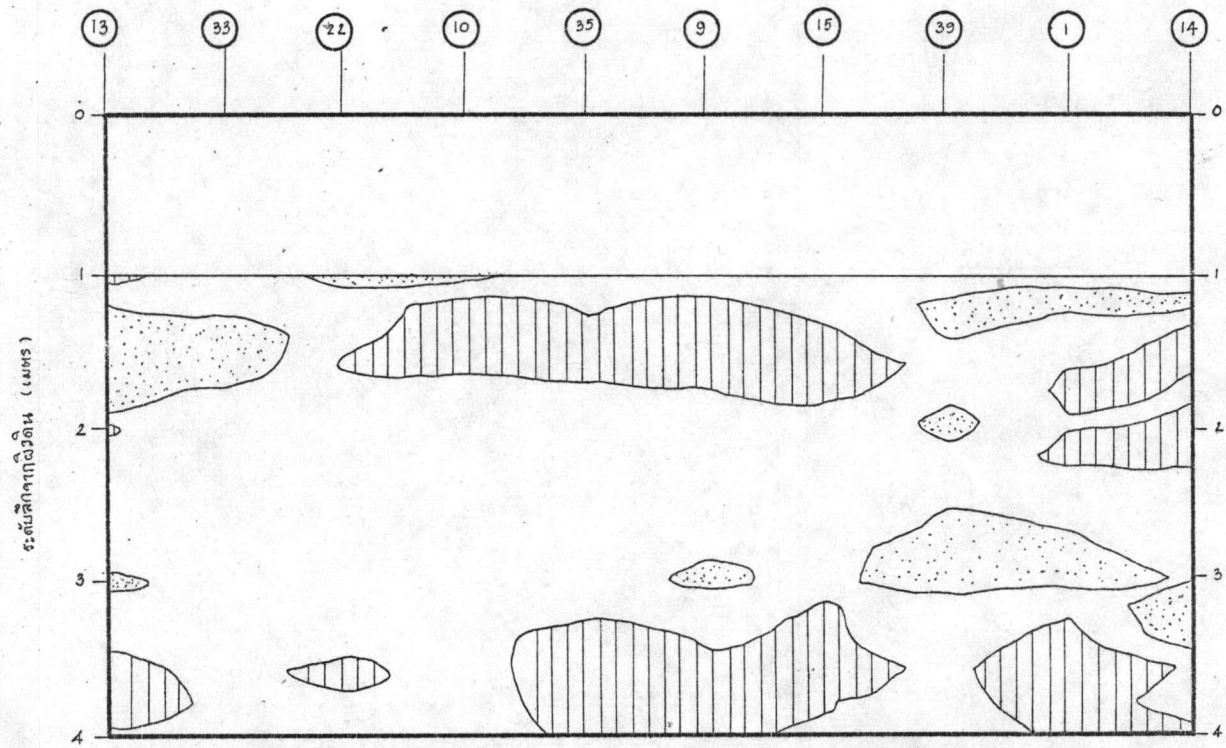
Figure 3.2 Casagrande's Plasticity Chart (from Sriratanasathavorn, S., 1975)




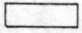
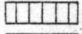
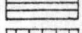
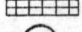

สัญลักษณ์

|   |                              |  |
|---|------------------------------|--|
|  | หน่วยแรงต้านปลายกรวยน้อยกว่า | 2 กก./ซม. <sup>2</sup>                             |
|  | หน่วยแรงต้านปลายกรวยระหว่าง  | 2 กก./ซม. <sup>2</sup> และ 4 กก./ซม. <sup>2</sup>  |
|  | หน่วยแรงต้านปลายกรวยระหว่าง  | 4 กก./ซม. <sup>2</sup> และ 6 กก./ซม. <sup>2</sup>  |
|  | หน่วยแรงต้านปลายกรวยระหว่าง  | 6 กก./ซม. <sup>2</sup> และ 8 กก./ซม. <sup>2</sup>  |
|  | หน่วยแรงต้านปลายกรวยระหว่าง  | 8 กก./ซม. <sup>2</sup> และ 10 กก./ซม. <sup>2</sup> |
|  | เสาเข็มเบอร์ 26              |  |

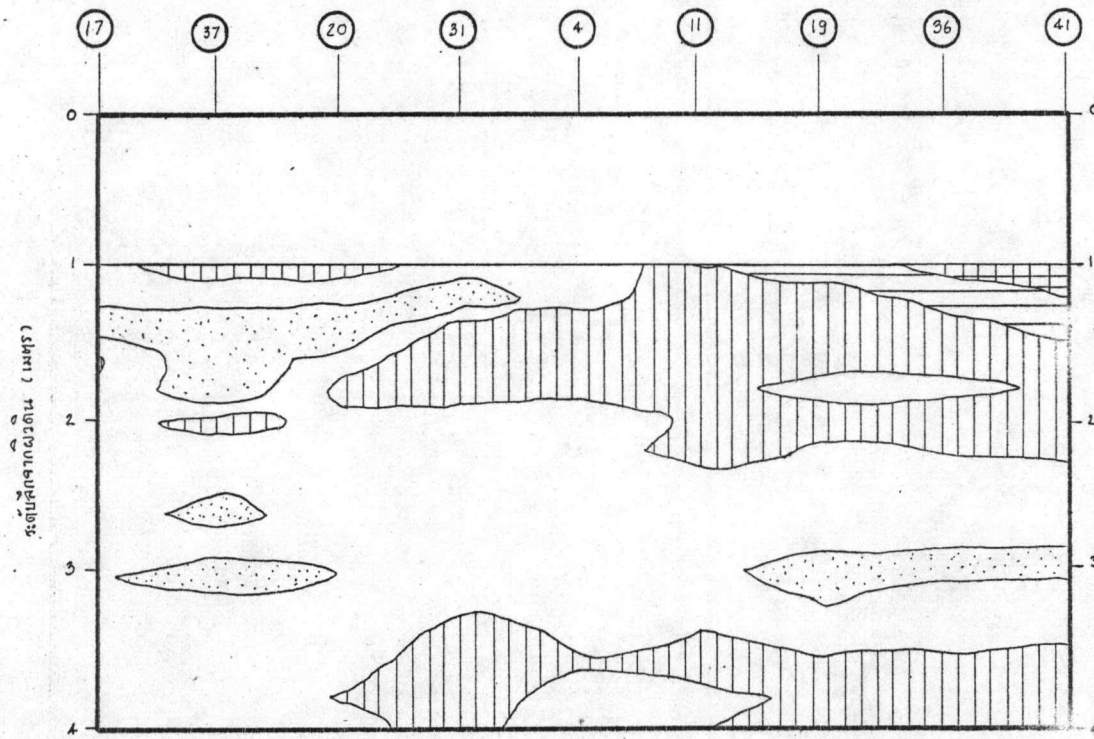
รูปที่ 3.3 หน่วยแรงต้านปลายกรวยตามแนวเสาเข็มเบอร์ 26-เสาเข็มเบอร์ 12



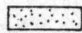

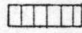
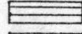
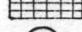

สัญลักษณ์

- |   |                              |  |
|---|------------------------------|--|
|  | หน่วยแรงดันปลายนกรวยน้อยกว่า | 2 กก./ซม <sup>2</sup>                            |
|  | หน่วยแรงดันปลายนกรวยระหว่าง  | 2 กก./ซม <sup>2</sup> และ 4 กก./ซม <sup>2</sup>  |
|  | หน่วยแรงดันปลายนกรวยระหว่าง  | 4 กก./ซม <sup>2</sup> และ 6 กก./ซม <sup>2</sup>  |
|  | หน่วยแรงดันปลายนกรวยระหว่าง  | 6 กก./ซม <sup>2</sup> และ 8 กก./ซม <sup>2</sup>  |
|  | หน่วยแรงดันปลายนกรวยระหว่าง  | 8 กก./ซม <sup>2</sup> และ 10 กก./ซม <sup>2</sup> |
|  | เสาเข็มเบอร์ 13              |  |

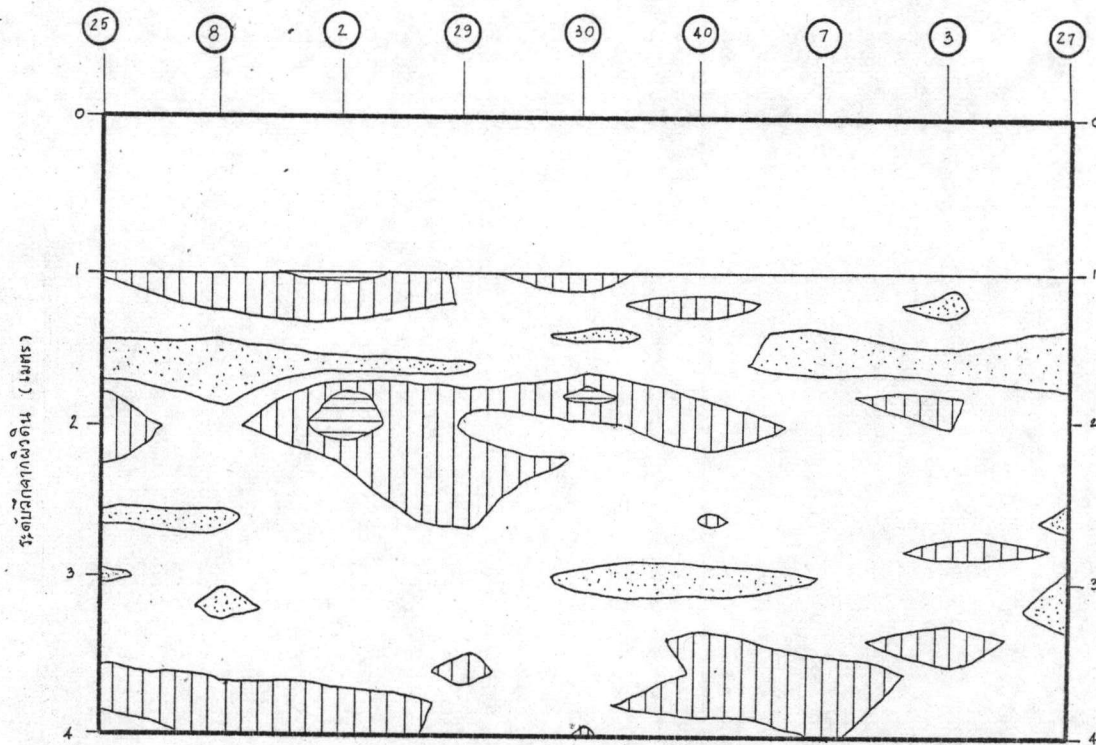
รูปที่ 3.4 หน่วยแรงดันปลายนกรวยตามแนวเสาเข็มเบอร์ 13 - เสาเข็มเบอร์ 14



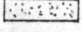
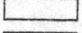
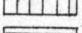
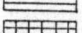
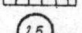

สัญลักษณ์

- |   |                              |  |
|---|------------------------------|--|
|  | หน่วยแรงต้านปลายกรวยน้อยกว่า | 2 กก./ซม. <sup>2</sup>                             |
|  | หน่วยแรงต้านปลายกรวยระหว่าง  | 2 กก./ซม. <sup>2</sup> และ 4 กก./ซม. <sup>2</sup>  |
|  | หน่วยแรงต้านปลายกรวยระหว่าง  | 4 กก./ซม. <sup>2</sup> และ 6 กก./ซม. <sup>2</sup>  |
|  | หน่วยแรงต้านปลายกรวยระหว่าง  | 6 กก./ซม. <sup>2</sup> และ 8 กก./ซม. <sup>2</sup>  |
|  | หน่วยแรงต้านปลายกรวยระหว่าง  | 8 กก./ซม. <sup>2</sup> และ 10 กก./ซม. <sup>2</sup> |
|  | เสาเข็มเบอร์ 17              |  |

รูปที่ 3.5 หน่วยแรงต้านปลายกรวยตามแนวเสาเข็มเบอร์ 17 - เสาเข็มเบอร์ 41



สัญลักษณ์

|   |                              |  |
|---|------------------------------|--|
|  | หน่วยแรงต้านปลายกรวยน้อยกว่า | 2 กก./ซม. <sup>2</sup>                             |
|  | หน่วยแรงต้านปลายกรวยระหว่าง  | 2 กก./ซม. <sup>2</sup> และ 4 กก./ซม. <sup>2</sup>  |
|  | หน่วยแรงต้านปลายกรวยระหว่าง  | 4 กก./ซม. <sup>2</sup> และ 6 กก./ซม. <sup>2</sup>  |
|  | หน่วยแรงต้านปลายกรวยระหว่าง  | 6 กก./ซม. <sup>2</sup> และ 8 กก./ซม. <sup>2</sup>  |
|  | หน่วยแรงต้านปลายกรวยระหว่าง  | 8 กก./ซม. <sup>2</sup> และ 10 กก./ซม. <sup>2</sup> |
|  | เสาเข็มเบอร์ 25              |  |

รูปที่ 3.6 หน่วยแรงต้านปลายกรวยตามแนวเสาเข็มเบอร์ 25-เสาเข็มเบอร์ 27



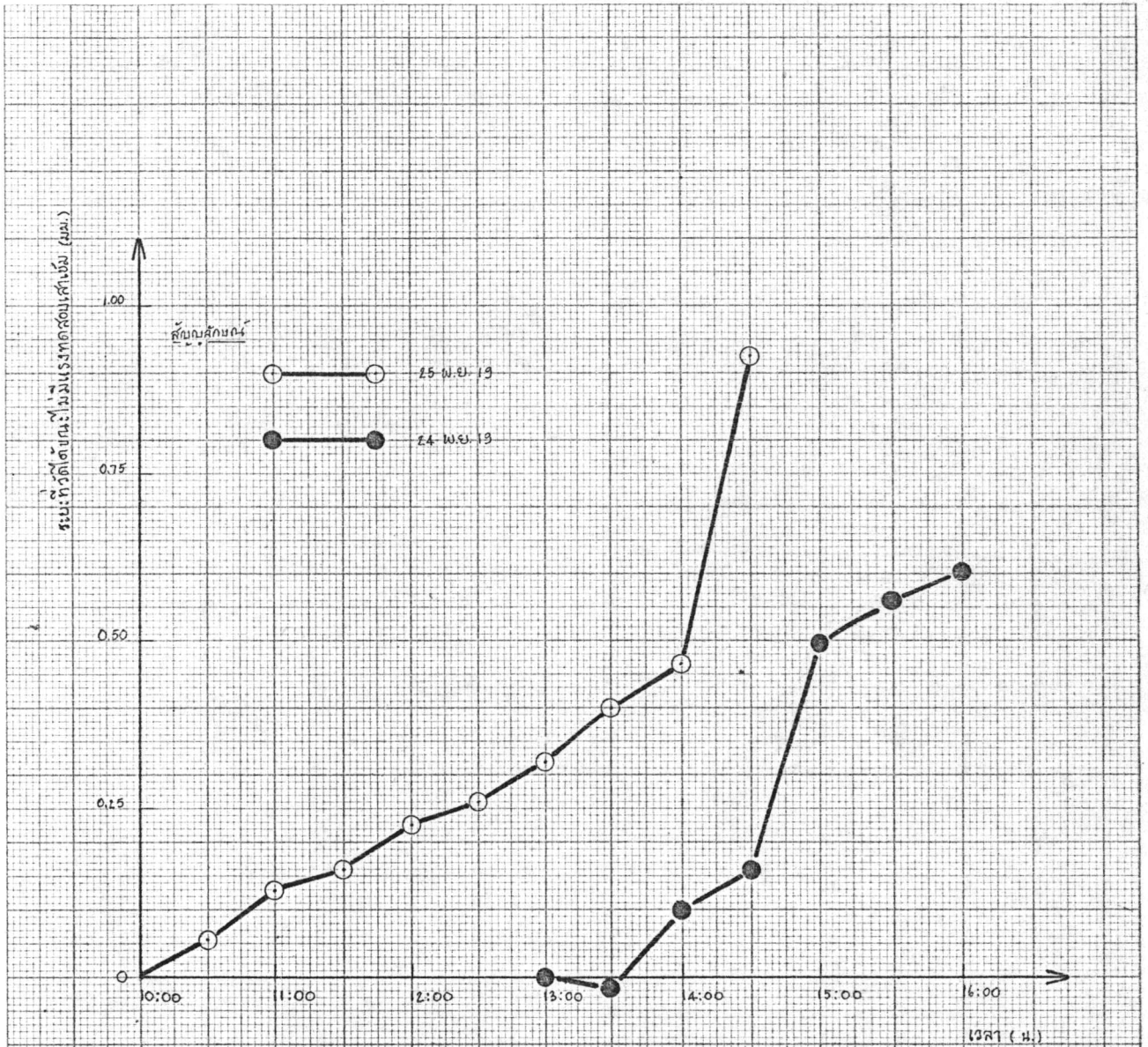
### 3.3 ผลการตรวจสอบอิทธิพลของธรรมชาติแวดล้อม (ลม อุณหภูมิ ฯลฯ) ต่อการวัด ระยะทรุดของหัวเสาเข็มและแรงทดสอบเสาเข็ม

การตรวจสอบอิทธิพลของธรรมชาติแวดล้อม (ลม อุณหภูมิ ฯลฯ) ต่อการวัดระยะทรุดของหัวเสาเข็มกระทำก่อนทดสอบเสาเข็ม เมื่อยังไม่ได้กางผ้าใบคลุมเครื่องมือ และมาตรวัดระยะทรุด มาตรวัดระยะทรุดซึ่งติดตั้งบนคานให้ปลายขามาตรสัมผัสกับผิวเรียบของกอนคอนกรีต ลูกบาศก์หนักซึ่งวางอยู่บนดิน บอกระยะห่างระหว่างคานกับผิวคอนกรีต 0.6 มิลลิเมตร ในช่วงเวลา 13.00 น. ถึง 16.00 น. ของวันที่ 24 พฤศจิกายน 2519 และ 0.9 มม. ในช่วงเวลา 10.00 น. ถึง 14.30 น. ของวันที่ 25 พฤศจิกายน 2519 ในขณะที่ไม่มีแรงภายนอกกระทำ (รูปที่ 3.7) หลังจากกางผ้าใบคลุมเครื่องมือและบริเวณที่ทดสอบเสาเข็มแล้วตรวจสอบมาตรวัดระยะทรุดดั้งเดิมปรากฏว่าเข็มมาตรวัดระยะทรุดเคลื่อนไปน้อยมาก ส่วนการตรวจสอบมาตรวัดระยะยึดหดของวงแหวนวัดแรงก็เป็นไปในลักษณะเช่นกัน หลังจากคลุมผ้าใบแล้วเข็มมาตรวัดระยะยึดหดของวงแหวนวัดแรงซึ่งวางอยู่ในร่มไม่เคลื่อนที่

### 3.4 ผลการทดสอบเสาเข็ม

#### 3.4.1 ผลการทดสอบเสาเข็มแบบ Slow Maintained Load Test Constant Rate of Penetration Test และ Cyclic Test

เสาเข็มถูกทดสอบแบบ Slow Maintained Load Test 7 เสา  
ทดสอบแบบ C.R.P. Test 21 เสา (ควยอัตราทรุดของหัวเสาเข็ม 0.10 มม./นาที  
4 เสา 0.25 มม./นาที 7 เสา 0.35 มม./นาที 5 เสา และ 0.50 มม./นาที  
5 เสา) และทดสอบแบบ Cyclic Test 7 เสา ผลการทดสอบแสดงไว้ในตาราง  
ที่ 3.1 ถึง ตารางที่ 3.6 และรูปที่ 3.8 ถึง รูปที่ 3.13



รูปที่ 3-7 อิทธิพลของอุณหภูมิแวดล้อมต่อการวัดระยะที่หลอดแก้วเคาแมง

ตารางที่ 3.1

ผลการทดสอบเสาเข็มแบบ Slow Maintained Load Test

| เสาเข็มเบอร์ | ทดสอบหลังลง<br>เสาเข็ม<br>วัน | เวลาพิบัติ<br>นาที | แรงพิบัติ<br>กก. | พื้นที่ผิวข้าง<br>ซม. <sup>2</sup> | หน่วยแรงต้าน<br>ผิวข้าง<br>กก./ซม. <sup>2</sup> | ระยะทรุดพิบัติ<br>มม. |
|--------------|-------------------------------|--------------------|------------------|------------------------------------|---|-----------------------|
| 12           | 61                            | 119                | 566              | 2624                               | 0.216   | 1.39                  |
| 18           | 67                            | 136                | 762              | 2660                               | 0.286   | 1.42                  |
| 35           | 70                            | 60                 | 519              | 2705                               | 0.192   | 1.13                  |
| 17           | 75                            | 134                | 520              | 2768                               | 0.188   | 0.82                  |
| 19           | 76                            | 130                | 664              | 2850                               | 0.233   | 0.97                  |
| 25           | 78                            | 127                | 617              | 2563                               | 0.241   | 1.25                  |
| 40           | 80                            | 186                | 665              | 2909                               | 0.227   | 1.49                  |

หมายเหตุ:

เวลาพิบัติหมายถึงเวลาที่ใช้ทดสอบเสาเข็มจนพิบัติ

ระยะทรุดพิบัติหมายถึงระยะทรุดพิบัติของหัวเสาเข็ม

หน่วยแรงต้านผิวข้างหมายถึงหน่วยแรงต้านผิวข้างเสาเข็มคำนวณโดยเอา

แรงพิบัติเสาเข็มหารด้วยพื้นที่ผิวข้างเสาเข็ม

เสาเข็มเบอร์ 25 40 ถูกเหลาสั้นขี้ออก

หน่วยแรงต้านผิวข้างเสาเข็มเฉลี่ยเฉพาะเสาเข็มไม่เหลาสั้นขี้ออก :

0.223 กก./ซม.<sup>2</sup>

## ตารางที่ 3.2

ผลการทดสอบเส้นใยแบบ C.R.P. Test (0.10 มม./นาที)

| เส้นใยเบอร์ | ทดสอบหลังลง<br>เส้นใย<br>วัน | เวลาพิบัติ<br>นาที | แรงพิบัติ<br>กก. | พื้นที่ฉีกขาด<br>ซม. <sup>2</sup> | หน่วยแรงต้าน<br>ฉีกขาด<br>กก./ซม. <sup>2</sup> | ระยะทรุดพิบัติ<br>มม. |
|-------------|------------------------------|--------------------|------------------|-----------------------------------|--|-----------------------|
| 16          | 61                           | 10                 | 645              | 2635                              | 0.245  | 1.10                  |
| 26          | 68                           | 8                  | 670              | 2677                              | 0.250  | 1.10                  |
| 9           | 71                           | 12                 | 509              | 2720                              | 0.187  | 1.08                  |
| 37          | 76                           | 10                 | 547              | 2778                              | 0.197  | 1.01                  |

หมายเหตุ:หน่วยแรงต้านฉีกขาดเส้นใยเฉลี่ย: 0.220 กก./ซม.<sup>2</sup>

## ตารางที่ 3.3

ผลการทดสอบเส้าเข็มแบบ C.R.P. Test (0.25 มม./นาที)

| เส้าเข็มเบอร์ | ทดสอบหลังลง<br>เส้าเข็ม<br>วัน | เวลาพิบัติ<br>นาที | แรงพิบัติ<br>กก. | พื้นที่ผิวข้าง<br>ซม. <sup>2</sup> | หน่วยแรงต้าน<br>ผิวข้าง<br>กก./ซม. <sup>2</sup> | ระยะทรุดพิบัติ<br>มม. |
|---------------|--------------------------------|--------------------|------------------|------------------------------------|---|-----------------------|
| 21            | 62                             | 3.5                | 622              | 2638                               | 0.236   | 0.98                  |
| 13            | 67                             | 4                  | 566              | 2681                               | 0.211   | 1.09                  |
| 15            | 72                             | 5                  | 639              | 2756                               | 0.232   | 1.02                  |
| 20            | 77                             | 3                  | 475              | 2781                               | 0.171   | 0.76                  |
| 8             | 78                             | 7                  | 813              | 2907                               | 0.280   | 1.87                  |
| 29            | 78                             | 4.5                | 560              | 2852                               | 0.196   | 1.03                  |
| 3             | 79                             | 5                  | 850              | 2873                               | 0.296   | 1.49                  |

หมายเหตุ:

เส้าเข็มเบอร์ 3 8 ถูกเหลาสั้นออก

หน่วยแรงต้านผิวข้างเส้าเข็มเฉลี่ยเฉพาะเส้าเข็มไม่เหลาสั้นออก:

0.209 กก./ซม.<sup>2</sup>

## ตารางที่ 3.4

ผลการทดสอบเสาเข็มแบบ C.R.P. Test (0.35 มม./นาที)

| เสาเข็มเบอร์ทดสอบหลังลงเสาเข็มวัน | เวลาพิบัตินาที | แรงพิบัติกก. | พื้นที่ผิวข้าง <sup>๒</sup> ซม. <sup>๒</sup> | หน่วยแรงต้าน <sup>๒</sup> หน่วยแรงต้าน <sup>๒</sup> ผิวข้างกก./ซม. <sup>๒</sup> | ระยะทรุดพิบัติมม. |
|-----------------------------------|----------------|--------------|--|---|-------------------|
| 23                                | 63             | 475          | 2640   | 0.180   | 1.00              |
| 33                                | 67             | 563          | 2682   | 0.210   | 1.26              |
| 39                                | 73             | 552          | 2761   | 0.200   | 0.95              |
| 31                                | 78             | 705          | 2784   | 0.253   | 1.59              |
| 27                                | 80             | 694          | 2854   | 0.243   | 1.40              |

หมายเหตุ:หน่วยแรงต้านผิวข้างเสาเข็มเฉลี่ย: 0.217 กก./ซม.<sup>๒</sup>

ตารางที่ 3.5

ผลการทดสอบเสาเข็มแบบ C.R.P. Test (0.50 มม./นาที)

| เสาเข็มเบอร์ | ทดสอบหลังลง<br>เสาเข็ม<br>วัน | เวลาพิบัติ<br>นาที | แรงพิบัติ<br>กก. | พื้นที่ผิวข้าง<br>ซม. <sup>2</sup> | หน่วยแรงต้าน<br>ผิวข้าง<br>กก./ซม. <sup>2</sup> | ระยะทรุดพิบัติ<br>มม. |
|--------------|-------------------------------|--------------------|------------------|------------------------------------|---|-----------------------|
| 38           | 65                            | 2                  | 566              | 2648                               | 0.214   | 1.01                  |
| 22           | 68                            | 3                  | 480              | 2690                               | 0.178   | 1.42                  |
| 1            | 73                            | 1.5                | 536              | 2762                               | 0.194   | 0.85                  |
| 4            | 78                            | 2.5                | 723              | 2806                               | 0.258   | 1.32                  |
| 2            | 78                            | 2.5                | 811              | 2857                               | 0.284   | 1.55                  |

หมายเหตุ:

หน่วยแรงต้านผิวข้างเสาเข็มเฉลี่ย: 0.226 กก./ซม.<sup>2</sup>

ตารางที่ 3.6

ผลการทดสอบเสาเข็มแบบ Cyclic Test

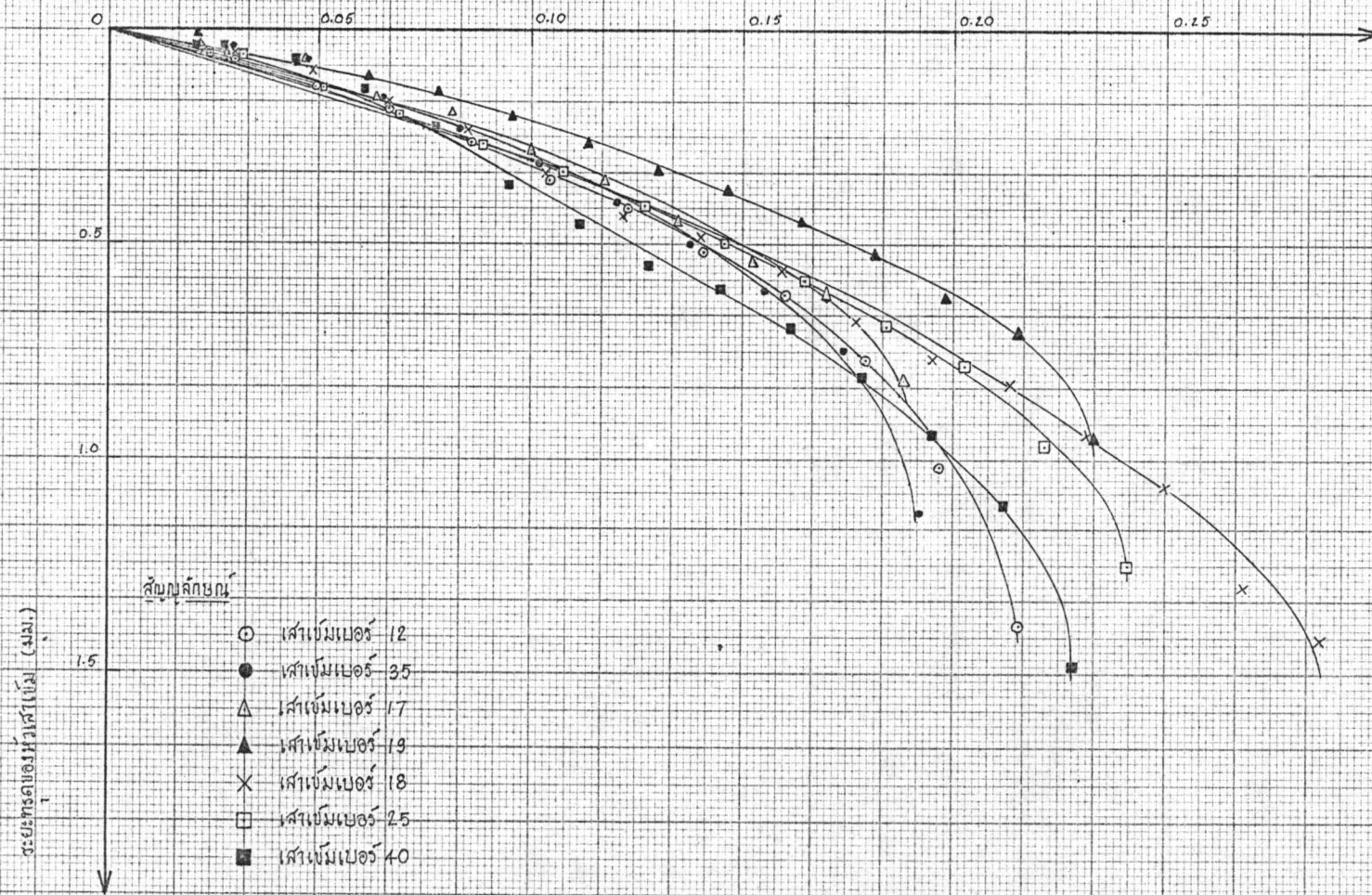
| เสาเข็มเบอร์ | ทดสอบหลังลง<br>เสาเข็ม<br>วัน | เวลาพิบัติ<br>นาที | แรงพิบัติ<br>กก. | พื้นที่ผิวข้าง<br>ชม. <sup>2</sup> | หน่วยแรงต้าน<br>ผิวข้าง<br>กก./ชม. <sup>2</sup> | ระยะทรุดพิบัติ<br>มม. |
|--------------|-------------------------------|--------------------|------------------|------------------------------------|---|-----------------------|
| 24           | 66                            | 226                | 543              | 2648                               | 0.205   | 1.01                  |
| 10           | 69                            | 611                | 616              | 2693                               | 0.229   | 1.38                  |
| 14           | 74                            | 484                | 640              | 2763                               | 0.232   | 1.94                  |
| 11           | 75                            | 611                | 616              | 2829                               | 0.218   | 1.08                  |
| 41           | 77                            | 680                | 665              | 3053                               | 0.218   | 1.25                  |
| 30           | 79                            | 418                | 593              | 2501                               | 0.237   | 1.09                  |
| 7            | 81                            | 934                | 714              | 2860                               | 0.250   | 1.73                  |

หมายเหตุ:

เสาเข็มเบอร์ 41 30 ถูกเหลาดันขออก  
หน่วยแรงต้านผิวข้างเสาเข็มเฉลี่ยเฉพาะเสาเข็มไม่เหลาดันขออก:  
0.227 กก./ชม.<sup>2</sup>



หน่วยแรงต้านผิวข้างเสาเข็ม (กก./ซม.)

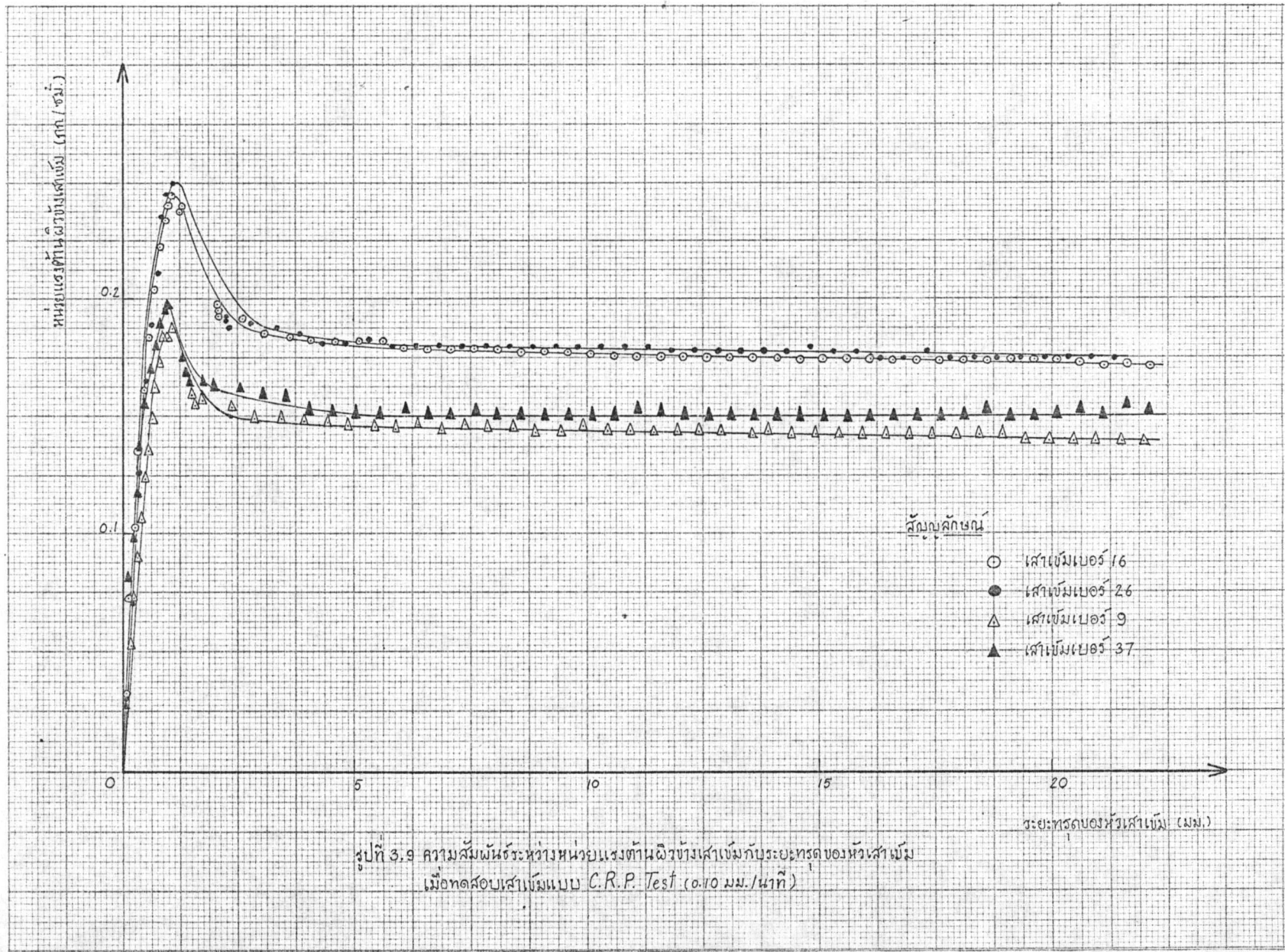


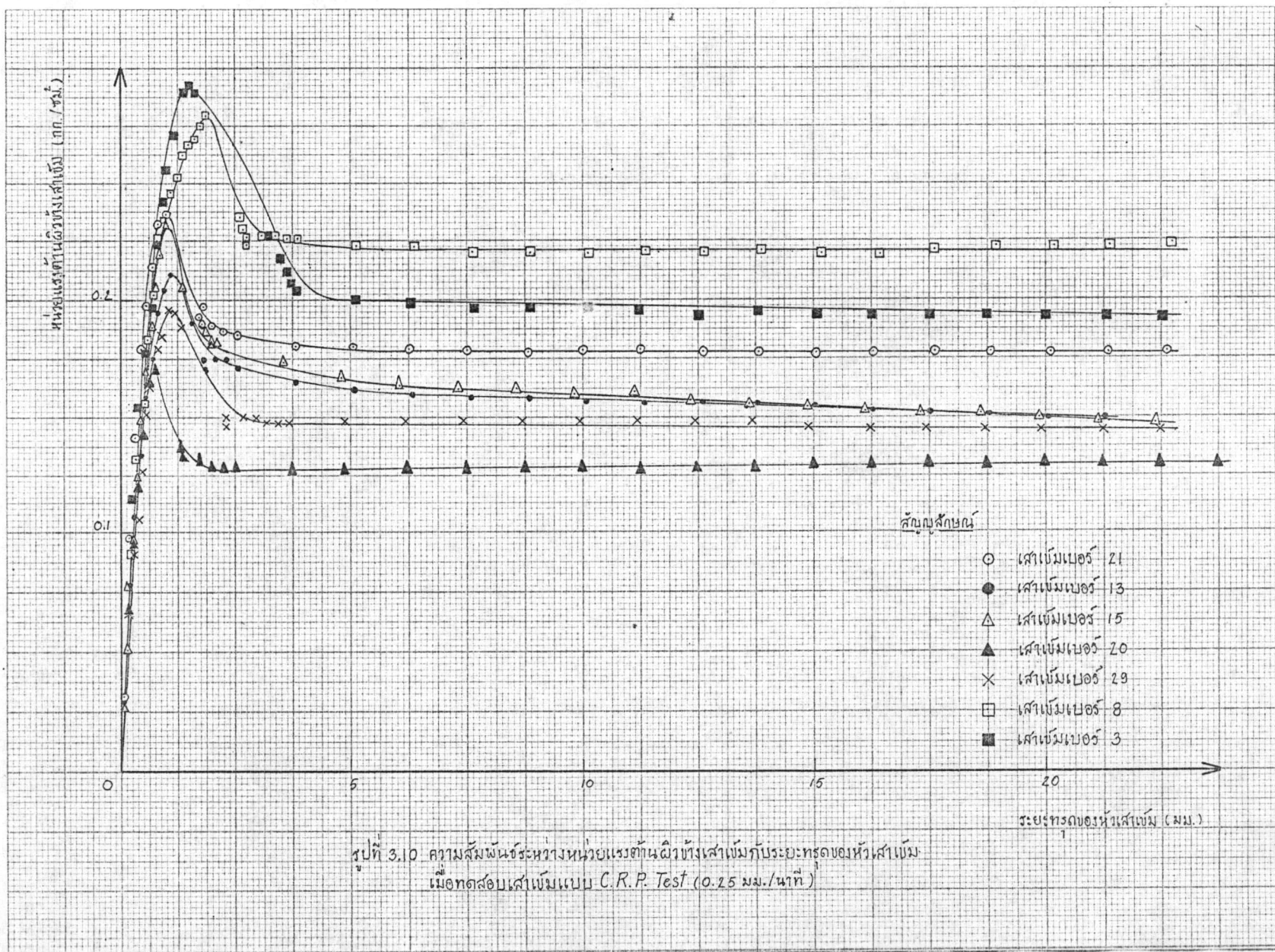
สัญลักษณ์

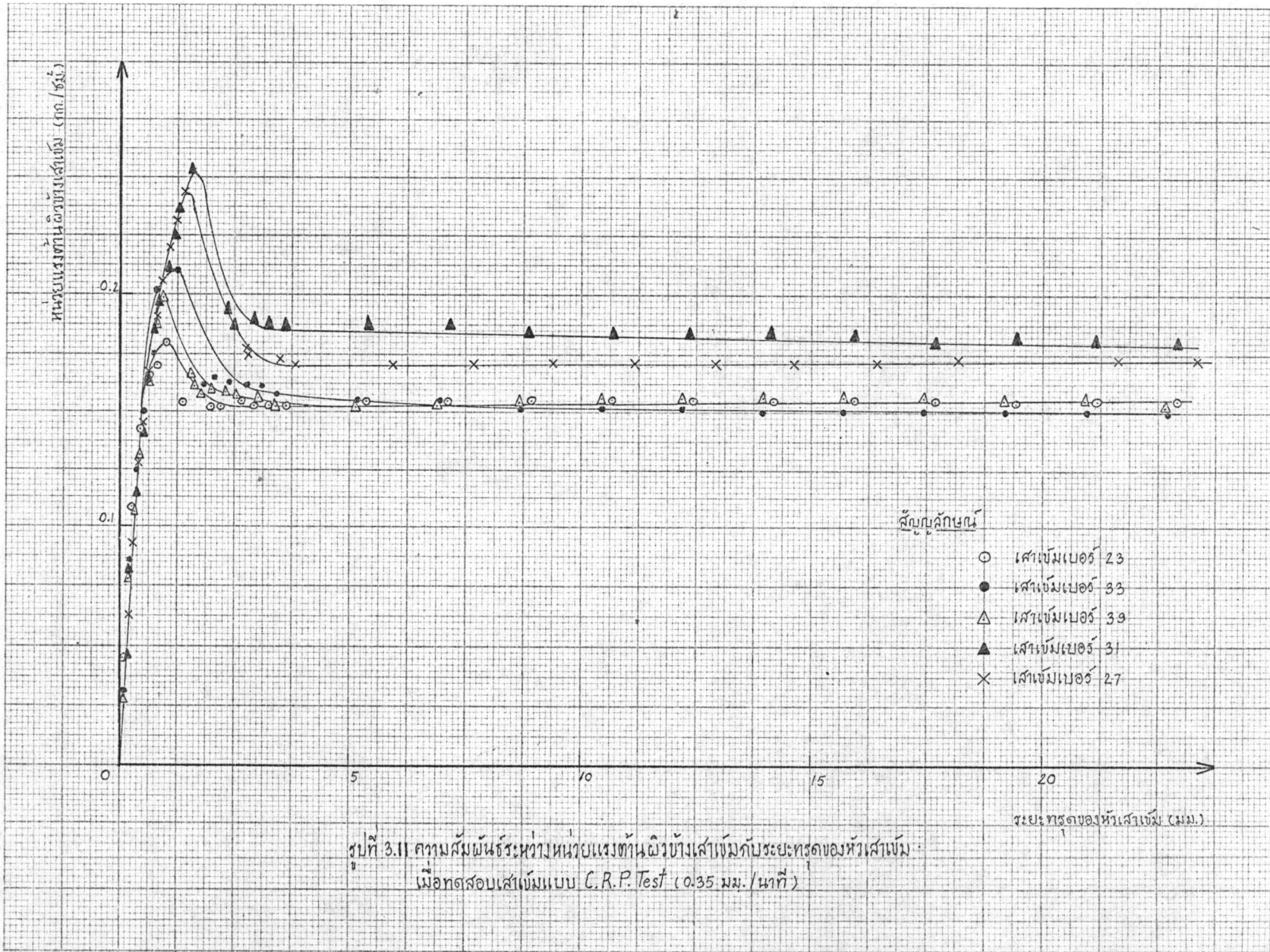
- เสาเข็มเบอร์ 12
- เสาเข็มเบอร์ 35
- △ เสาเข็มเบอร์ 17
- ▲ เสาเข็มเบอร์ 19
- × เสาเข็มเบอร์ 18
- เสาเข็มเบอร์ 25
- เสาเข็มเบอร์ 40

รูปที่ 3.8 ความสัมพันธ์ระหว่างหน่วยแรงต้านผิวข้างเสาเข็มกับระยะทรุดของหัวเสาเข็ม เมื่อทดสอบเสาเข็มแบบ Slow Maintained Load Test

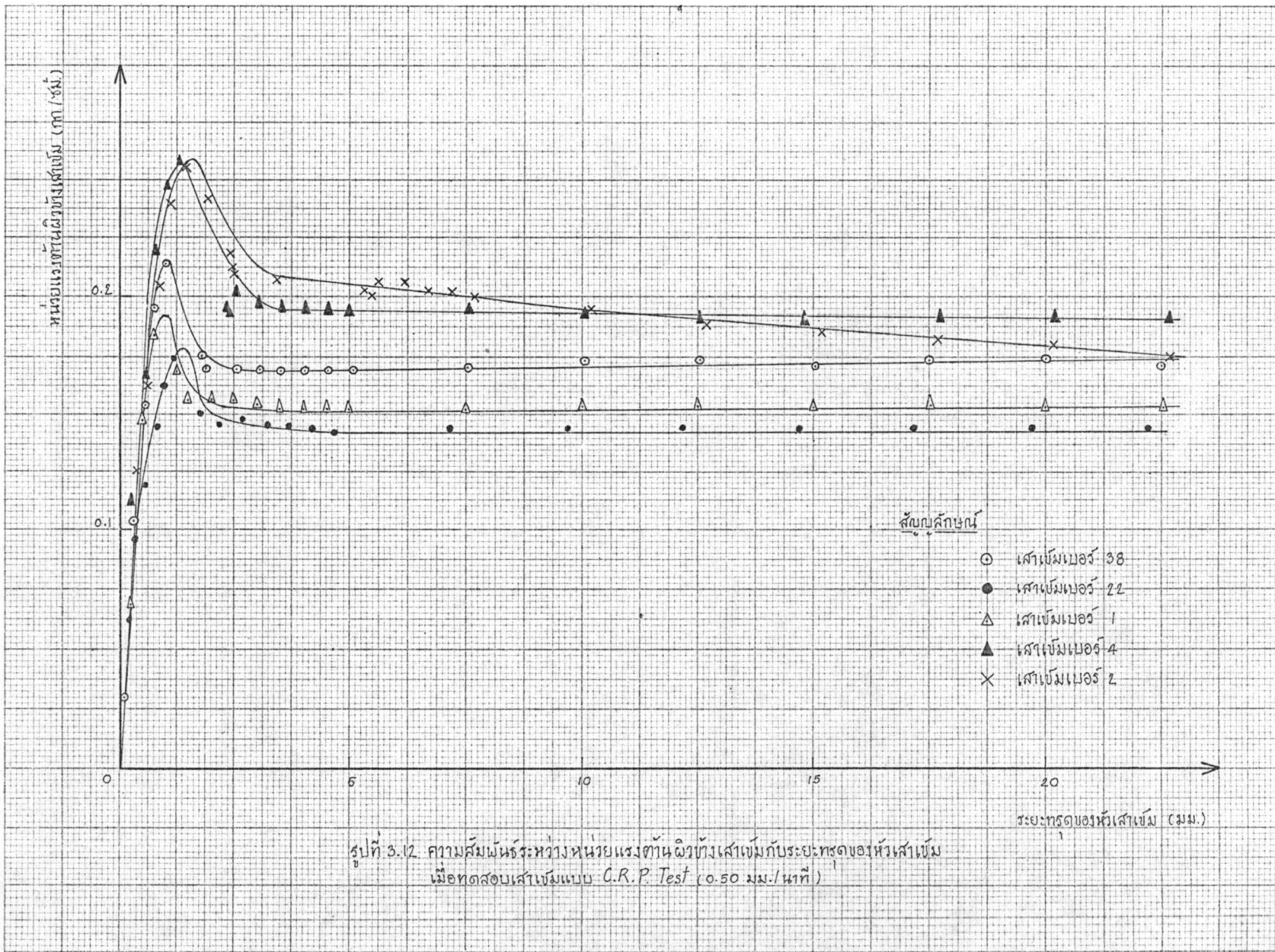




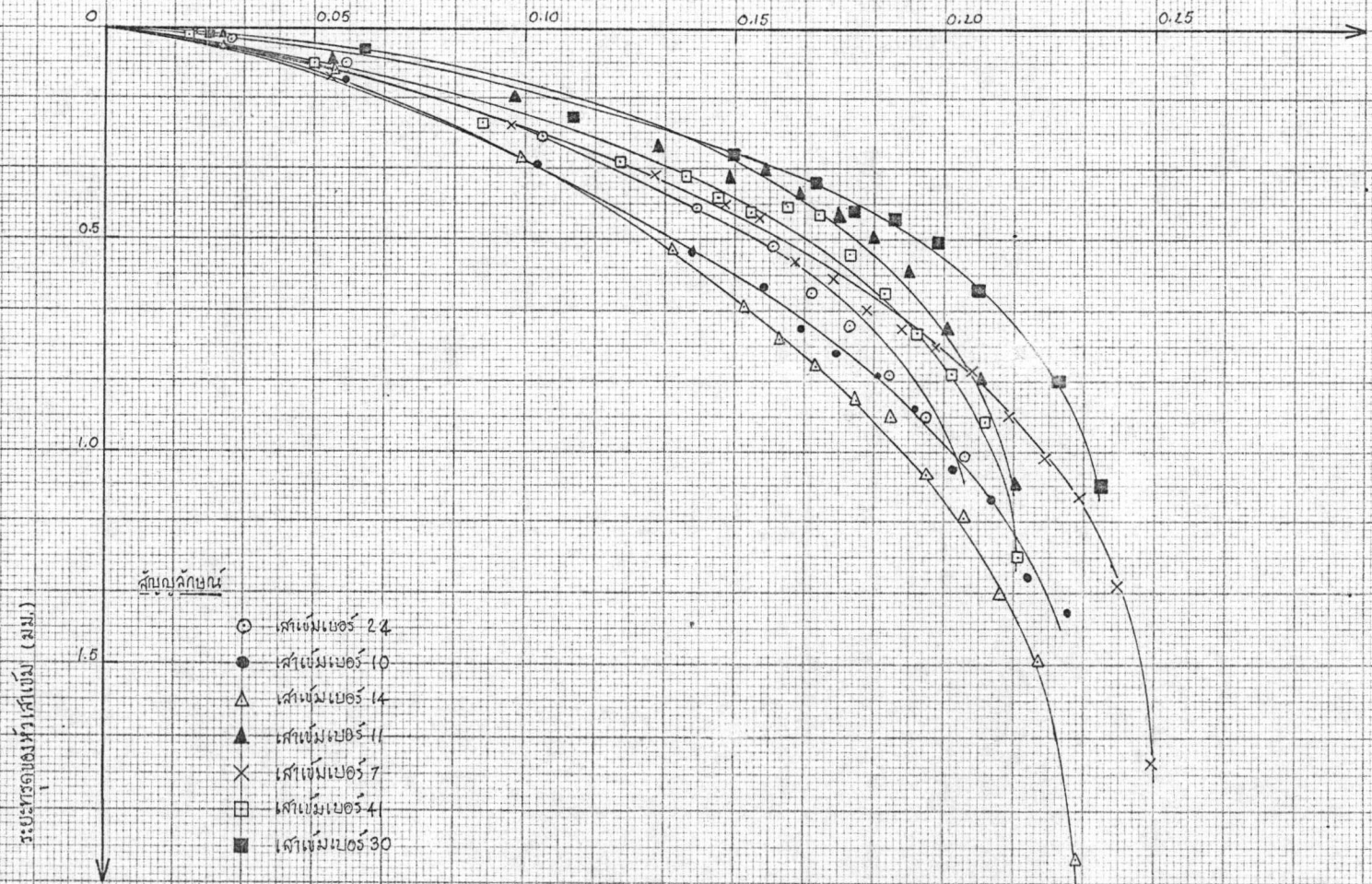




รูปที่ 3.11 ความสัมพันธ์ระหว่างหน่วยแรงต้านฉีกกับระยะการดองหัวเส้นดิน เพื่อทดสอบเส้นดินแบบ C.R.P. Test (0.35 มม./นาที)



หน่วยแรงต้านผิวข้างเสาเข็ม (กก./ซม<sup>2</sup>)



รูปที่ 3.3 ความสัมพันธ์ระหว่างหน่วยแรงต้านผิวข้างเสาเข็มกับระยะทรุดของหัวเสาเข็ม  
เมื่อทดสอบเสาเข็มแบบ Cyclic Test

การทดสอบเสาเข็มเริ่มหลังจากลงเสาเข็มไว้แล้วประมาณสองเดือน (61 วัน ถึง 81 วัน) ช่วงเวลาดังแสดงเสาเข็มถึงเวลาทดสอบเสาเข็มเป็นองค์ประกอบหนึ่งซึ่งมีผลต่อความสามารถในการรับแรงของเสาเข็มที่ลงไว้ในดินเหนียวอ่อนอิม้นำ

(Tomlinson, M.J., 1976) ทั้งนี้เป็นผลสืบเนื่องมาจากอิทธิพลของการลงเสาเข็มในดินเหนียวอ่อนอิมนำ ในกรุงเทพฯจากการวิจัยของ Sasisuwun, S. (1972) ดินบริเวณรอบเสาเข็มเหล็กเดี่ยวซึ่งมีขนาดเส้นผ่าศูนย์กลาง 50 เซนติเมตร และถูกตอกฝังอยู่ในดินเหนียวอ่อนกรุงเทพฯ 12 เมตร ถูกแปรสภาพ (disturb) จากผิวข้างเสาเข็มทางออกไปถึงระยะประมาณหนึ่งเท่าเส้นผ่าศูนย์กลางเสาเข็ม ความดันของน้ำในช่องว่างเมื่อดินบริเวณใกล้กับเสาเข็ม (ภายในระยะ 4.5 เท่ารัศมีเสาเข็มจากจุดศูนย์กลางเสาเข็ม) เพิ่มขึ้นมากหลังจากที่ลงเสาเข็มเสร็จใหม่ ๆ

กำลังต้านทานแรงเฉือนของดิน (Field Vane Shear Strength) บริเวณใกล้เสาเข็ม (ที่ระยะห่างจากผิวเสาเข็ม 0.3 เท่าเส้นผ่าศูนย์กลางเสาเข็ม) ลดลงมากในวันที่ลงเสาเข็ม กำลังต้านทานแรงเฉือนของดินที่สูญเสียไปกลับคืนมาใหม่หลังจากลงเสาเข็ม 14 วัน ส่วนความดันของน้ำในช่องว่างเมื่อดินลดลงผู้ปกคิหลังจากลงเสาเข็มแล้วหนึ่งเดือน ในการวิจัยนี้เว้นช่วงเวลา 2 เดือนหลังจากลงเสาเข็มไว้เชื่อว่านานพอสำหรับดินบริเวณรอบ ๆ เสาเข็มกลับคืนสภาพ

เสาเข็มไม้ไผ่เลี้ยงที่ใช้ในการวิจัยมีขนาดเส้นผ่าศูนย์กลางตรงโคนอยู่ระหว่าง 2.9 เซนติเมตร ถึง 3.6 เซนติเมตร ตรงปลายเสาเข็ม 2.2 เซนติเมตร ถึง 2.9 เซนติเมตร ยาวประมาณ 4 เมตร ฝังอยู่ในดินเหนียวอ่อนกรุงเทพฯ 3 เมตร ในการหาแรงพิบัติเสาเข็ม เสาเข็มถูกทดสอบจนพิบัติที่ละเสา ระยะใกล้ที่สุดระหว่างเสาเข็มประมาณ 50 เซนติเมตร (ประมาณ 14 เท่าเส้นผ่าศูนย์กลางโคนเสาเข็ม)

ตามรายงานการวิจัยของแสงมหาชัย(2519) ทวดยเส้าเข็มไม้ไผ่รวก ขนาดเส้นผ่าศูนย์กลางตรงโคนอยู่ระหว่าง 3.20 เซนติเมตร ถึง 3.45 เซนติเมตร ตรงปลายประมาณ 2.60 เซนติเมตร ถึง 2.70 เซนติเมตร คอกเป็นเส้าเข็มกลุ่มละ 25 เส้า ฝังอยู่ในดินเหนียวอนกรุงเทพ ภายในบริเวณจุฬาลงกรณ์มหาวิทยาลัย ลึก 3 เมตร ประสิทธิภาพของเส้าเข็มกลุ่มเพิ่มขึ้นถึง 98 เปอร์เซ็นต์ เมื่อระยะห่างระหว่างเส้าเข็มกลุ่มเท่ากับ 19.5 เซนติเมตร (6.5 เท่าเส้นผ่าศูนย์กลางเส้าเข็มโดยประมาณ) บ่งให้เห็นว่าอิทธิพลของเส้าเข็มที่อยู่ข้างเคียงต่อการรับน้ำหนักของเส้าเข็มแต่ละเส้าในกลุ่มลดน้อยลงไปมากเมื่อระยะห่างระหว่างเส้าเข็มเพิ่มขึ้นเป็น 19.5 เซนติเมตร

เนื่องจากขนาด รูปร่างของเส้าเข็มและสภาพดินที่ใช้ในการวิจัยคล้ายคลึงกับการวิจัยของแสงมหาชัย(2519) ดังนั้นระยะใกล้ที่สุดระหว่างเส้าเข็มประมาณ 50 เซนติเมตร (14 เท่าเส้นผ่าศูนย์กลางโคนเส้าเข็มโดยประมาณ) จึงเป็นระยะห่างไกลเกินที่ผลการทดสอบเส้าเข็มเส้าข้างเคียงจะส่งมาถึงกัน

จากการทดสอบเส้าเข็มแบบ Slow Maintained Load Test C.R.P. Test และ Cyclic Test ลักษณะกราฟ หน่วยแรงต้านผิวข้างเส้าเข็ม-ระยะทรุดทั้งหมดของหัวเส้าเข็ม (รูปที่ 3.8 ถึง 3.13) เหมือนกันอยู่อย่างหนึ่งคือมีจุดแสดงค่าหน่วยแรงต้านผิวข้างเส้าเข็มสูงสุด ในการทดสอบเส้าเข็มแบบ C.R.P. Test จุดแสดงค่าหน่วยแรงต้านผิวข้างเส้าเข็มสูงสุดปรากฏให้เห็นเด่นชัดและหลังจากหน่วยแรงต้านผิวข้างเส้าเข็มถึงค่าสูงสุดยังสามารถทดสอบเส้าเข็มโดยคงอัตราทรุดของหัวเส้าเข็มต่อไปได้อีก

ส่วนการทดสอบเส้าเข็มแบบ Slow Maintained Load Test และ Cyclic Test หลังจากคงแรงทดสอบเส้าเข็มถึงค่าสูงสุด (แรงทดสอบเส้าเข็มสูงสุดในขั้นสำหรับการทดสอบเส้าเข็มแบบ Cyclic Test) เส้าเข็มทรุดลงอย่าง

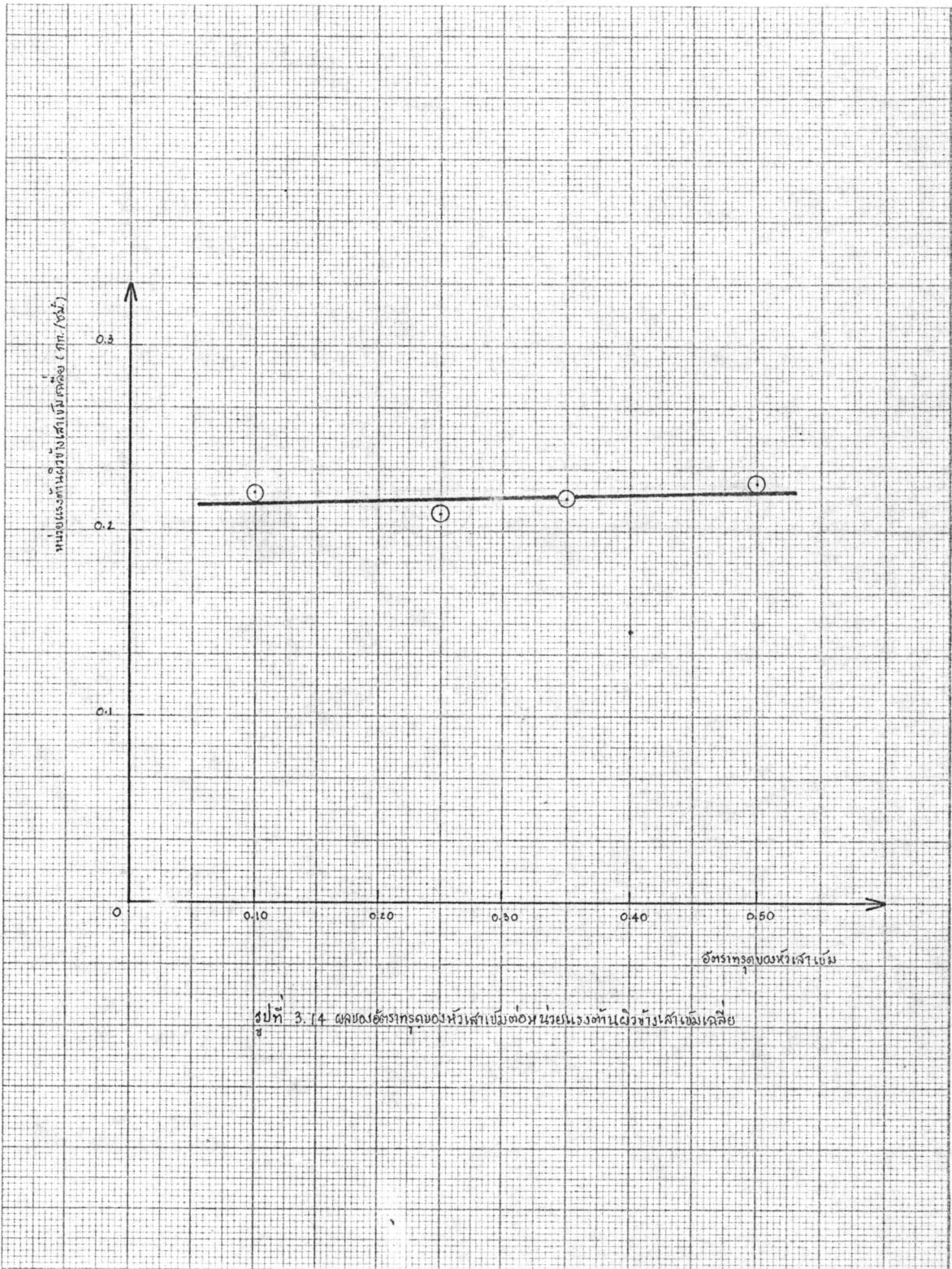


รวดเร็ว ระยะเวลาทั้งหมดของหัวเสาเข็มเพิ่มขึ้นมากในขณะเดียวกันแรงทดสอบเสาเข็มลดน้อยลงจนไม่สามารถคงไว้เท่าเดิมได้ พฤติกรรมการรับแรงของเสาเข็มเช่นนี้คงเนื่องมาจากดินเหนียวรอบผิวข้างเสาเข็มสูญเสียโครงสร้างของเม็ดดินในขณะที่เสาเข็มพืดทำให้กำลังต้านทานแรงเฉือนของดินเหนียวรอบผิวข้างเสาเข็มลดน้อยลง เป็นผลให้เสาเข็มรับแรงอัดได้น้อยลงหลังจากพืดแล้ว

เวลาที่ใช้ทดสอบเสาเข็มจนพืดอยู่ระหว่าง 1 นาที 30 วินาที และ 12 นาที สำหรับการทดสอบเสาเข็มแบบ C.R.P. Test ส่วนการทดสอบเสาเข็มแบบ Slow Maintained Load Test อยู่ระหว่าง 1 ชั่วโมง และ 3 ชั่วโมง 6 นาที และการทดสอบเสาเข็มแบบ Cyclic Test อยู่ระหว่าง 3 ชั่วโมง 46 นาที และ 15 ชั่วโมง 34 นาที ระยะเวลาพืดของหัวเสาเข็มที่ได้จากการทดสอบเสาเข็มแต่ละวิธีมีค่าอยู่ระหว่าง 0.76 มิลลิเมตร และ 1.87 มิลลิเมตร

### 3.4.2 ผลของอัตราทรุดของหัวเสาเข็มต่อการรับแรงอัดในแนวแกนคิงของเสาเข็ม

ในการวิจัยนี้ ผลของอัตราทรุดของหัวเสาเข็มต่อการรับแรงอัดในแนวแกนคิงของเสาเข็มศึกษาจากการทดสอบเสาเข็มแบบ C.R.P. Test โดยเปลี่ยนแปลงอัตราทรุดของหัวเสาเข็ม อัตราทรุดของหัวเสาเข็มที่ใช้เริ่มจากอัตรา 0.10 มม./นาที ซึ่งเป็นอัตราทรุดที่ต่ำสุด แล้วเพิ่มอัตราทรุดขึ้นเป็น 0.25 มม./นาที 0.35 มม./นาที จนถึง 0.50 มม./นาที ซึ่งเป็นอัตราทรุดสูงสุด ผลของอัตราทรุดของหัวเสาเข็มต่อการรับแรงอัดในแนวแกนคิงของเสาเข็มแสดงไว้ในรูปที่ 3.14



รูปที่ 3.14 ผลของอัตราทดของหัวเส้นใ้แม่ต่อหน่วยแรงดันเหนี่ยวนำหัวเส้นใ้แม่เฉลี่ย

จากกราฟ อัตราทรุกของหัวเส้าเข็ม-หน่วยแรงต้านผิวข้างเส้าเข็มเฉลี่ย (รูปที่ 3.14) จะเห็นได้ว่า เมื่ออัตราทรุกของหัวเส้าเข็มเพิ่มขึ้น หน่วยแรงต้านผิวข้างเส้าเข็มเฉลี่ยมีแนวโน้มเพิ่มขึ้น ทั้งนี้อาจเนื่องมาจากสภาพดินบริเวณที่ทดสอบเส้าเข็มเป็นดินเหนียวอ่อนอิมน้ำ และการทดสอบเส้าเข็มจนพิบัติเสร็จสิ้นอย่างรวดเร็ว (ภายใน 12 นาที) เป็นผลให้ดินเหนียวอ่อนอิมน้ำบริเวณรอบผิวข้างเส้าเข็มถูกเฉือนอย่างรวดเร็วด้วยอัตราความเครียดในแนวแรงเฉือนคงที่ในขณะที่ทดสอบเส้าเข็มจนน้ำในช่องว่างเม็ดดินไหลออกไม่ทัน กำลังต้านทานแรงเฉือนของดินเหนียวอ่อนอิมน้ำในลักษณะเช่นนี้ ขึ้นอยู่กับอัตราความเครียด เมื่ออัตราความเครียดเพิ่มขึ้นกำลังต้านทานแรงเฉือนของดินเหนียวอ่อนอิมน้ำเพิ่มขึ้นด้วย จึงจะเห็นได้จากผลการวิจัยผลของอัตราความเครียดต่อกำลังต้านทานแรงเฉือนแบบไม่มีการระบายน้ำของตัวอย่างดินเหนียวอ่อนกรุงเทพฯ อิมน้ำ ในลักษณะคงสภาพของ Punyarnunta, S. (1964) และ Chau, Y.K. (1969) เมื่อกำลังต้านทานแรงเฉือนของดินเหนียวรอบผิวข้างเส้าเข็มสูงขึ้น เส้าเข็มจะรับแรงได้มากขึ้น หน่วยแรงต้านผิวข้างเส้าเข็มเฉลี่ยจึงเพิ่มขึ้น

จากการทดลองนี้ เมื่ออัตราทรุกของหัวเส้าเข็มเพิ่มขึ้น 5 เท่า จากอัตราทรุก 0.10 มม./นาที หน่วยแรงต้านผิวข้างเส้าเข็มเฉลี่ยเพิ่มขึ้นประมาณ 3.7 เปอร์เซ็นต์ ในกรณีคอนกรีตจากการศึกษาของ Whitaker, T. และ Cooke, R.W. (1961) เมื่ออัตราทรุกของหัวเส้าเข็มเปลี่ยนแปลงไประหว่าง  $1/2$  และ 4 เท่าของอัตราทรุก 0.80 มม./นาที (0.032 นิ้ว/นาที) แรงพิบัติของเส้าเข็มซึ่งฝังอยู่ในดินเหนียวลอนคอนเปลี่ยนแปลงไม่เกิน 4 เปอร์เซ็นต์

3.4.3 ผลของวิธีทดสอบเสาเข็มตอกการรับแรงอัดในแนวแกนตั้งของเสาเข็ม

ผลของวิธีทดสอบเสาเข็มตอกการรับแรงอัดในแนวแกนตั้งของเสาเข็มแสดงไว้

ในตารางที่ 3.7

ตารางที่ 3.7 หน่วยแรงต้านผิวข้างเสาเข็มเฉลี่ย

| วิธีทดสอบเสาเข็ม            | หน่วยแรงต้านผิวข้างเสาเข็มเฉลี่ยเฉพาะเสาเข็ม<br>ไมเหลาสัน ขอบออก (กก./ซม. <sup>2</sup> ) |
|-----------------------------|--|
| Slow Maintained Load Test   | 0.223  |
| C.R.P. Test (0.10 มม./นาที) | 0.220  |
| C.R.P. Test (0.25 มม./นาที) | 0.209  |
| C.R.P. Test (0.35 มม./นาที) | 0.217  |
| C.R.P. Test (0.50 มม./นาที) | 0.226  |
| Cyclic Test                 | 0.227  |

ตามตารางที่ 3.7 หน่วยแรงต้านผิวข้างเสาเข็มเฉลี่ยที่ได้จากการทดสอบ เสาเข็มแต่ละวิธีมีค่าใกล้เคียงกัน ต่างกันมากที่สุดเพียง 8.6 เปอร์เซ็นต์ (ถือค่าเฉลี่ย วิธีทดสอบเสาเข็มแบบ C.R.P. Test ด้วยอัตราทรุด 0.25 มม./นาที เป็นเกณฑ์) เมื่อทดสอบเสาเข็มแบบ C.R.P. Test ด้วยอัตราทรุดของหัวเสาเข็ม 0.50 มม./นาที หน่วยแรงต้านผิวข้างเสาเข็มเฉลี่ยมีค่าใกล้เคียงหน่วยแรงต้านผิวข้างเสาเข็มเฉลี่ยที่ได้ จากการทดสอบเสาเข็มแบบ Slow Maintained Load Test และ Cyclic Test กว่าค่าที่ได้จากการทดสอบเสาเข็มแบบ C.R.P. Test ด้วยอัตราทรุด 0.10 มม./นาที 0.25 มม./นาที และ 0.35 มม./นาที

#### 3.4.4 ผลของวิธีทดสอบเสาเข็มต่อสัมประสิทธิ์การเกาะตัวของดินเหนียว รอบผิวข้างเสาเข็ม

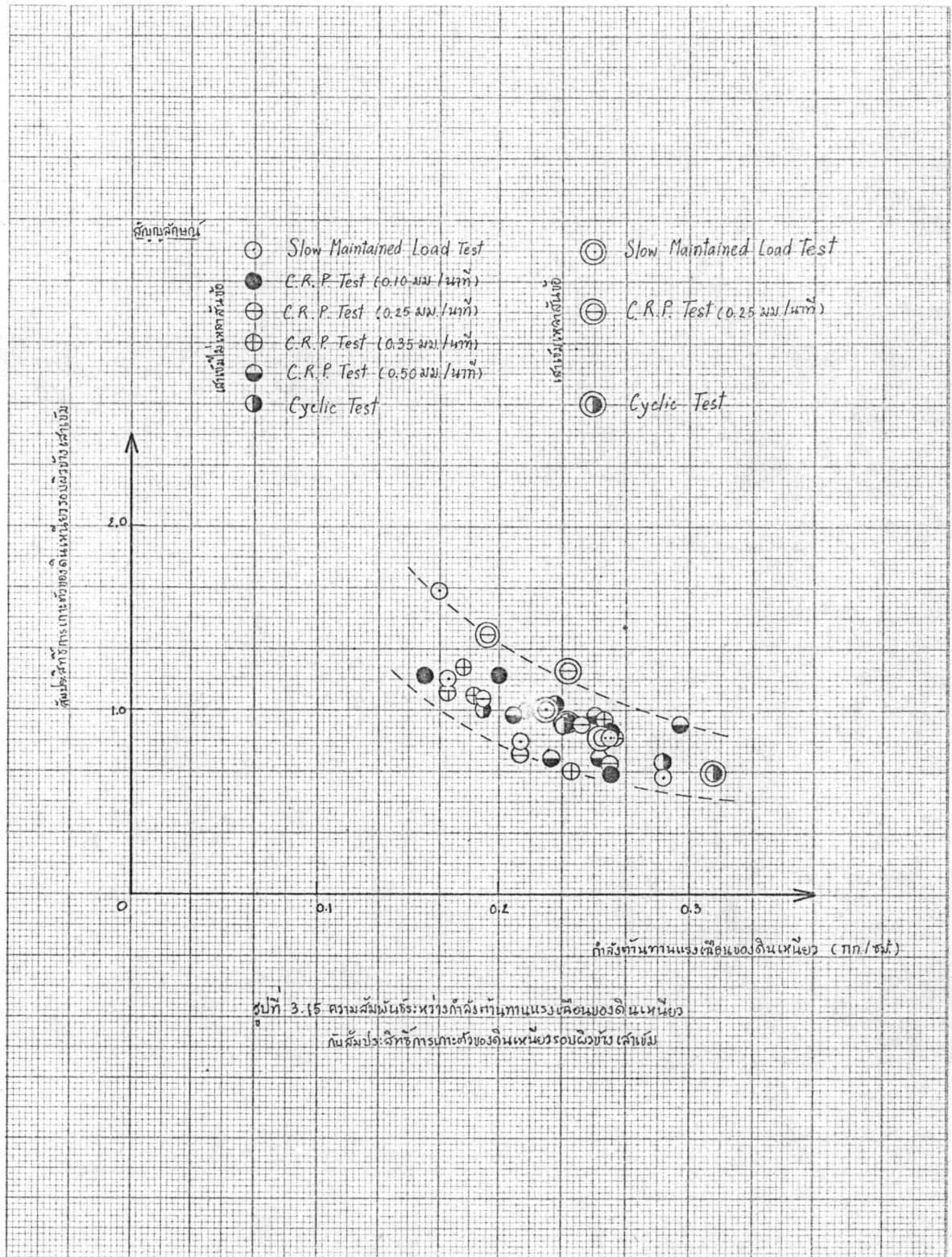
สัมประสิทธิ์การเกาะตัวของดินเหนียวรอบผิวข้างเสาเข็ม ค่าวนจากอัตรา ส่วนระหว่างแรงต้านผิวข้างเสาเข็มซึ่งได้จากการทดสอบเสาเข็มในขณะที่เสาเข็มพิบัติ กับแรงต้านผิวข้างเสาเข็ม ซึ่งคำนวณโดยใช้ข้อมูลการทดสอบดินด้วย Static Dutch Cone เนื่องจากอัตราส่วนระหว่างพื้นที่ผิวข้างเสาเข็มกับพื้นที่ปลายเสาเข็มมีค่าสูง (ประมาณ 560) ประกอบกับปลายเสาเข็มลงไว้ในดินเหนียวอ่อน จึงประมาณได้ว่าแรง ต้านผิวข้างเสาเข็มซึ่งได้จากการทดสอบเสาเข็มในขณะที่เสาเข็มพิบัติ มีค่าเท่ากับแรง พิบัติของเสาเข็ม (ไม่รวมน้ำหนักเสาเข็ม) ซึ่งได้จากการทดสอบเสาเข็ม ส่วนการคำนวณ แรงต้านผิวข้างเสาเข็มจากข้อมูลการสำรวจดินด้วย Static Dutch Cone นั้นใช้ค่า

Cone factor เท่ากับ 14 ซึ่งได้จากการวิจัยของ Pham, T.N. (1972) สำหรับดินเหนียวอ่อนกรุงเทพฯ ค่าแวนกำลังต้านทานแรงเฉือนของดินรอบผิวข้างเสาเข็ม แรงต้านผิวข้างเสาเข็มทั้งหมดได้จากผลบวกของแรงต้านผิวข้างเสาเข็มระหว่างข้อไม้ไผ่ซึ่งเท่ากับผลคูณของพื้นที่ผิวข้างเสาเข็มระหว่างข้อไม้ไผ่กับกำลังต้านทานแรงเฉือนของดินเหนียวรอบผิวข้างเสาเข็มเฉลี่ยระหว่างข้อไม้ไผ่

รายละเอียดการหาค่าสัมประสิทธิ์การเกาะตัวของดินเหนียวรอบผิวข้างเสาเข็มแสดงไว้ในภาคผนวก ความสัมพันธ์ระหว่างสัมประสิทธิ์การเกาะตัวของดินเหนียวรอบผิวข้างเสาเข็มกับกำลังต้านทานแรงเฉือนของดินเหนียวเฉลี่ยตลอดความยาวเสาเข็มในช่วงที่ฝังอยู่ในดินเหนียว (หาจากข้อมูลการทดสอบดินโดยใช้ Static Dutch Cone) แสดงไว้ในรูปที่ 3.15

จากรูปที่ 3.15 จะเห็นว่าความสัมพันธ์ระหว่างกำลังต้านทานแรงเฉือนเฉลี่ยของดินเหนียวกับสัมประสิทธิ์การเกาะตัวของดินเหนียวรอบผิวข้างเสาเข็ม ซึ่งได้จากการทดสอบเสาเข็มด้วยวิธีทดสอบต่าง ๆ กันมีแนวโน้มที่ว่าอยู่ในแถบเส้นไขว้ปลา ค่าสัมประสิทธิ์การเกาะตัวของดินเหนียวรอบผิวข้างเสาเข็มลดลงเมื่อกำลังต้านทานแรงเฉือนของดินเหนียวเพิ่มขึ้น และเสาเข็มที่เหลาสั้นขี้ออกมีแนวโน้มที่จะให้ค่าสัมประสิทธิ์การเกาะตัวของดินเหนียวรอบผิวข้างเสาเข็มมากกว่าเสาเข็มที่ไม่ได้เหลาสั้นขี้ออก

การที่ความสัมพันธ์ระหว่างกำลังต้านทานแรงเฉือนเฉลี่ยของดินเหนียวกับสัมประสิทธิ์การเกาะตัวของดินเหนียวรอบผิวข้างเสาเข็มซึ่งได้จากการทดสอบเสาเข็มด้วยวิธีทดสอบต่าง ๆ กันมีแนวโน้มที่ว่าอยู่ในแถบเส้นไขว้ปลา แสดงว่า วิธีทดสอบเสาเข็มมี



ผลต่อค่าสัมประสิทธิ์การเกาะตัวของดินเหนียวรอบผิวข้างเสาเข็มน้อย เหตุที่ค่าสัมประ-  
 สัมประสิทธิ์การเกาะตัวของดินเหนียวรอบผิวข้างเสาเข็มลดลงเมื่อกำลังต้านทานแรงเฉือนเฉลี่ย  
 ของดินเหนียวเพิ่มขึ้น คงเนื่องมาจากการลงเสาเข็มทำให้ดินเหนียวเป็นรูใหญ่กว่าเสา  
 เข็มเล็กน้อย ดินเหนียวที่มีกำลังต้านทานแรงเฉือนน้อยสามารถเคลื่อนเข้ามาคิผิวข้าง  
 เสาเข็มได้ง่ายกว่าดินเหนียวที่มีกำลังต้านทานแรงเฉือนสูงกว่า ทำให้พื้นที่ผิวสัมผัสระหว่าง  
 ดินเหนียวกับผิวข้างเสาเข็มมากกว่าเป็นผลให้ค่าสัมประสิทธิ์การเกาะตัวของดินเหนียว  
 รอบผิวข้างเสาเข็มสูงกว่า

เสาเข็มที่เหลาสันข้อออกมีแนวโน้มที่จะให้ค่าสัมประสิทธิ์การเกาะตัวของดิน  
 เหนียวรอบผิวข้างเสาเข็มมากกว่าเสาเข็มที่ไม่ได้เหลาสันข้อออกเนื่องจากสันข้อที่กระ  
 กระจายอยู่ตลอดความยาวเสาเข็มบริเวณตรงข้อเสาเข็มไม่ไผ่ มักจะหนุนใหญ่ออกมามากกว่า  
 ส่วนปล้องเหนือและใต้สันข้อ เป็นเหตุให้ดินเหนียวรอบผิวข้างเสาเข็มเคลื่อนเข้าสัมผัส  
 พื้นที่ผิวข้างเสาเข็มบริเวณเหนือสันข้อได้ไม่เต็มที่หลังลงเสาเข็มแล้ว เมื่อเหลาสันข้อ  
 ออก พื้นที่ผิวบริเวณตรงข้อเสาเข็มราบเรียบ ดินเหนียวรอบผิวข้างเสาเข็มเคลื่อนเข้า  
 สัมผัสพื้นที่ผิวข้างเสาเข็มได้เต็มที่ เป็นผลให้พื้นที่ผิวสัมผัสระหว่างดินเหนียวกับผิวข้างเสา  
 เข็มที่เหลาสันข้อออกมีค่ามากกว่า และอีกทางหนึ่งคาดว่าเมื่อเหลาสันข้อออก พื้นที่ผิว  
 บริเวณที่เหลาออกอาจช่วยกูดินน้ำเข้าไปในเนื้อไม้ ทำให้เนื้อไม้อิ่มน้ำแล้วขยายตัว  
 เป็นเหตุให้ผิวข้างเสาเข็มกระชับกับดินเหนียวรอบ ๆ ใ้แน่นยิ่งขึ้น จากเหตุผลดังกล่าว  
 สัมประสิทธิ์การเกาะตัวของดินเหนียวรอบผิวข้างเสาเข็มที่เหลาสันข้อออกจึงมีแนวโน้ม  
 สูงกว่า